



Proceedings

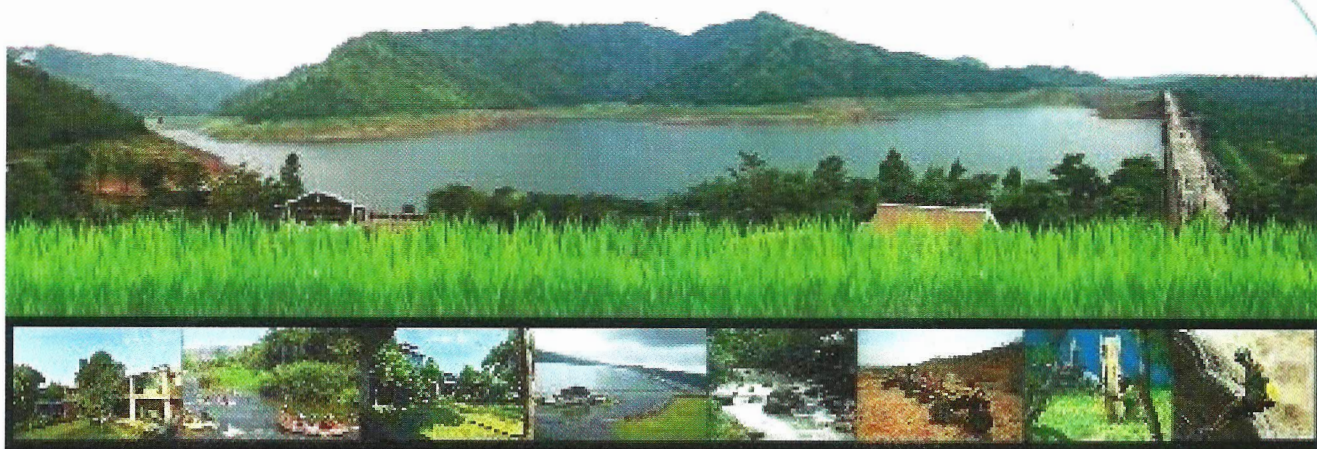
The 31st Conference

of Mechanical Engineering Network of Thailand

การประชุมวิชาการเครือข่ายวิศวกรรมเครื่องจักรแห่งประเทศไทย ครั้งที่ 31

ระหว่างวันที่ 4 – 7 กรกฎาคม 2560

ณ โรงแรมเชียงใหม่ รีสอร์ต จ.น่านฯ



ETM-09.....	1141
การวิเคราะห์ประสิทธิภาพของระบบผลิตแก๊สไฮโดรเจนที่ให้พลังงานด้วยระบบ PV/T ^{บุณย์ฤทธิ์ ประสาทแก้ว^{1*} นานพ แย้มแพง¹ และ อิศากุล่า โลหพรหม²}	
ETM-10.....	1148
อิทธิพลของห้องอากาศที่มีขนาดแตกต่างกันต่อประสิทธิภาพของเครื่องตะบันนำ <u>ชิตพล คงศิลา^{1*}</u>	
ETM-11.....	1155
การเพิ่มค่า COP ของเครื่องปรับอากาศแบบแยกส่วนโดยใช้การระบายความร้อนด้วยอากาศร่วมกับการระเหยของน้ำ กรณีศึกษาตัวกลางจาก ไขบวน เยื่อกระดาษ และแผงรังผึ้ง ^{ยุทธชัย เกี้ยวสันเทียะ¹}	
ETM12	
ETM-13.....	1161
การถ่ายเทความร้อนและความเสียดทานในห้องอุ่นอากาศพลังแสงอาทิตย์ด้วยการติดตั้งปีกโคลนแพนเดคซับความร้อน <u>โชคดุษ ประสะสูข¹, วิทูรย์ ชิงถั่วยทอง¹, พงษ์เจต พรหมวงศ์², สุราทิพย์ วิทยปิyanan³</u> และ สมพล ศักลหlong ^{3*}	
ETM-14.....	1169
อิทธิพลของแผ่นกันวางเรียงต่อสมรรถนะเชิงความร้อนภายใต้สีเหลี่ยมจัตุรัส ^{นรินทร์ กุลนภาดล¹, สวิยา โชคเพิ่มพูน², พงษ์เจต พรหมวงศ์³, พิทักษ์ พร้อมไธสง⁴, ประทาน ศรีชัย⁵} และ สมพล ศักลหlong ^{6*}	
ETM-15.....	1178
พฤติกรรมความร้อนในห้องที่มีการติดตั้งแผ่นปีกสีเหลี่ยม <u>ภานุวรรณ หันพงษ์¹, สุภัตรชัย สุวรรณพันธุ์², ธีรพัฒน์ ชุมภูคำ³, พงษ์เจต พรหมวงศ์⁴, และ สมพล ศักลหlong^{5*}</u>	
ETM-16.....	1187
เครื่องอบแห้งลำไยเฉพาะเนื้อด้วยใช้อุ่นห้าร้อนwaysดึงที่ความตันดำเน ^{อารีย์ อัจฉริยวิริยะ^{1,2}, กอตขวัญ นามสงวน^{1,2*} และ ศิริวัชร์ อัจฉริยวิริยะ^{1,2}}	
ETM-17.....	1194
แนวทางการปรับปรุงเพิ่มสมรรถนะของเครื่องอบแห้งลำไยเฉพาะเนื้อด้วยใช้พลังงานชีมวล ^{ศิริวัชร์ อัจฉริยวิริยะ¹, จตุรพัตก์ ปัลณวลี¹ และ อารีย์ อัจฉริยวิริยะ^{1*}}	
ETM-18.....	1201
การศึกษาการพาราความร้อนในห้องแลกเปลี่ยนความร้อนด้วยการใส่ร่องแหวน 5 เหลี่ยม ^{นรินทร์ กุลนภาดล¹, พงษ์เจต พรหมวงศ์² และ วิทูรย์ ชิงถั่วยทอง^{3*}}	
ETM-19.....	1211
การเพิ่มประสิทธิภาพของแผงโซล่าเซลล์ โดยรูปแบบการวางแผนพาราโบลา ^{อภิชน มุงชู^{1*}, สถิตพงศ์ เสวีymศักดิ์¹, สุพัตรา บุ๊ธีสง¹}	

การถ่ายเทความร้อนและความเสียดทานในท่ออุ่นอากาศพลังแสงอาทิตย์ด้วยการติดตั้งปีกโค้งบนแผ่นดูดซับความร้อน

Heat transfer and friction in solar air heater duct with curved-winglet roughness on absorber plate

โชคดิษฐิ ประสพสุข¹, วิทวิรย์ ชิงถ้วยทอง¹, พงษ์เจต พรมวงศ์², สุธาราพิพิญ วิทยปิยานันท์³ และ สมพล สกุลหลง^{3*}

¹ สาขาวิชาเครื่องกล คณะเทคโนโลยีอุตสาหกรรม มหาวิทยาลัยราชภัฏเพชรบุรี

321 ถนนนาสายยั่น McGrath ตำบลเลขบุรี อำเภอเมือง จังหวัดเพชรบุรี 15000

² สาขาวิชาวิศวกรรมเครื่องกล คณะวิศวกรรมศาสตร์ สถาบันเทคโนโลยีพระจอมเกล้าเจ้าคุณทหารลาดกระบัง

ซอยคลองกรุง 1 ถนนคลองกรุง เขตตลาดกระบัง กรุงเทพมหานคร 10520

³ ภาควิชาวิศวกรรมเครื่องกล คณะวิศวกรรมศาสตร์วิศวฯ มหาวิทยาลัยเกษตรศาสตร์ วิทยเขตศรีราชา

199 หมู่ 6 ถนนสุขุมวิท ตำบลทุ่งสุขลา อำเภอศรีราชา จังหวัดชลบุรี 20230

*ติดต่อ: E-mail: sfengsps@src.ku.ac.th, sompol@eng.src.ku.ac.th

บทคัดย่อ

บทความนี้นำเสนอผลการทดลองของสมรรถนะเชิงความร้อนในท่ออุ่นอากาศพลังแสงอาทิตย์ด้วยการติดตั้งปีกโค้งบนแผ่นดูดซับความร้อน จุดมุ่งหมายของการติดตั้งตัวสร้างการไหลหมุนคงที่นิดปีกโค้งคือสร้างการไหลหมุนคงซึ่งส่งผลต่อการเพิ่มระดับความปั่นป่วนของการไหลและนำไปสู่การเพิ่มประสิทธิภาพการถ่ายเทความร้อนในท่อทดสอบ อิทธิพลของความสูงปีกได้รับการตรวจสอบเพื่อหาค่าสมรรถนะเชิงความร้อนที่เหมาะสมในช่วงเลขเรย์โนล์ด์ระหว่าง 5400 ถึง 23,000 ปีกโค้งทำมุมเอียง 45° ตามทิศทางการไหลโดยมีสัดส่วนความสูงปีกต่อความสูงท่อ ($b/H=BR$) 4 ค่า คือ 0.3, 0.4, 0.5 และ 0.6 ที่สัดส่วนระยะพื้นที่ตามแนวการไหลต่อความสูงท่อ ($P/H=PR$) เท่ากับ 2 ผลการทดลองแสดงให้เห็นว่า การติดตั้งปีกโค้งให้ค่าอัตราการถ่ายเทความร้อนและความเสียดทานสูงกว่าท่อผิวนิ่ง การติดตั้งปีกโค้งที่มีค่า BR สูงให้ค่าการถ่ายเทความร้อนและความเสียดทานสูงกว่าการติดตั้งปีกที่มีค่า BR ต่ำ จากการเปรียบเทียบ ปีกโค้งที่ค่า BR สูงสุด ($BR = 0.6$) มีค่าการถ่ายเทความร้อนในเทอมของเลขนัสเซลล์ (Nusselt number, Nu) และความเสียดทานในเทอมของตัวประกอบเสียดทาน (friction factor, f) สูงสุด อย่างไรก็ตามค่าสมรรถนะเชิงความร้อนสูงสุดกลับพบที่ $BR = 0.4$ คำหลัก: ปีกโค้ง, เครื่องอุ่นอากาศพลังแสงอาทิตย์, แผ่นดูดซับความร้อน, สมรรถนะเชิงความร้อน, การไหลหมุนคง

Abstract

This paper presents the results of an experimental investigation of thermal performance characteristics in a solar air heater duct with curved-winglet vortex generators (CWs) on the absorber plate. The aim at using the CWs is to create co-rotating vortex flows having a significant influence on the flow turbulence intensity leading to higher heat transfer enhancement in the tested duct. Effect of the CW height is examined to find the optimum thermal performance for the Reynolds number from 5400 to 23,000. The CWs inclined to 45° relative to the main flow direction are characterized at three winglet- to channel-height ratios ($b/H=BR=0.3, 0.4, 0.5$ and 0.6) at a single winglet pitch ratio ($P/H=RP=2$). The experimental results show a significant effect of the presence of the CW on the heat transfer rate and friction loss over the flat-plate duct with no winglet. The 45° CW with larger BR provides higher heat transfer and friction loss than the one with smaller BR. In comparison, the highest BR ($BR=0.6$) of the CW yields the highest increase in both the Nusselt number (Nu) and friction factor (f) while the $BR=0.4$ provides the best thermal performance.

Keywords: Curved-winglet, Solar air heater, Absorber plate, Thermal performance, Vortex generator.



1. บทนำ

ปัจจุบันเข็มเพลิงที่ใช้ในการผลิตพลังงานชนิดต่างๆ บนโลก เช่น พลาสติก ๆ เริ่มลดลง เนื่องจากการเพิ่มขึ้นของประชากร ความต้องการทางด้านพลังงานรวมทั้งความสะอาดสวยงามของมนุษย์ นักวิทยาศาสตร์และนักวิจัยจึงพัฒนาอุปกรณ์สำหรับรับพลังงานหมุนเวียน (พลังงานน้ำ พลังงานลม และพลังงานแสงอาทิตย์) เพื่อนำพลังงานเหล่านี้มาใช้ให้เกิดประสิทธิภาพสูงสุดและทดแทนพลังงานที่สกัดน้ำยัง พลังงานแสงอาทิตย์เป็นพลังงานชนิดหนึ่งที่สะอาดปราศจากมลพิษและมีอยู่อย่างไม่จำกัดบนโลก การนำพลังงานจากแสงอาทิตย์มาใช้ให้เกิดประโยชน์สูงสุดจึงเป็นสิ่งจำเป็นอย่างยิ่ง ปัจจุบัน พลังงานแสงอาทิตย์ได้ถูกนำมาใช้ในสองรูปแบบ คือ (1) การผลิตไฟฟ้าโดยใช้หลักการตกรหบของแสงบนวัตถุ และเปลี่ยนพลังงานแสงเป็นพลังงานไฟฟ้า (Photovoltaic, PV) ซึ่งวิธีนี้มีระบบค่อนข้างซับซ้อนและค่าใช้จ่ายสูง (2) การดึงความร้อนจากแสงอาทิตย์มาใช้ประโยชน์ในด้านต่างๆ เช่น การอบแห้งผลผลิตทางการเกษตร การบ่มผลไม้ เป็นต้น สำหรับวิธีนี้มีระบบที่ไม่ซับซ้อนและต้นทุนในการผลิตต่ำ อุปกรณ์ที่ทำงานลักษณะนี้คือเครื่องอุ่นอากาศพลังแสงอาทิตย์ (Solar air heater, SAH)

เครื่องอุ่นอากาศพลังแสงอาทิตย์เป็นที่นิยมใช้ในหลาย ๆ ประเทศและมีการพัฒนาอย่างต่อเนื่องเพื่อเพิ่มสมรรถนะให้แก่อุปกรณ์ตั้งแต่古 โดย Singh et al. [1] ศึกษาเชิงทดลองของ การถ่ายเทความร้อนและความเสียดทานในห้องอุ่นอากาศพลังแสงอาทิตย์โดยใช้คริบรูปตัววี แยกตัวแบบปลายวีขึ้นตามกระแสการไหลที่ค่าพารามิเตอร์ต่างๆ ผลกระทบของแรงดันให้เห็นว่า การติดตั้งคริบจะมีผลต่อความเสียดทาน (แผ่นดูดซับความร้อน) มีค่าการถ่ายเทความร้อนและตัวประมวลผลเสียดทานเพิ่มสูงขึ้น 3.04 และ 3.11 เท่า เมื่อเทียบกับห้องอุ่นวิธี Jin et al. [2] ศึกษาเชิงตัวเลขของพฤษตกรรมการไหลและการถ่ายเทความร้อนในเครื่องอุ่นอากาศพลังแสงอาทิตย์ด้วยคริบรูปตัววีต่อเนื่องโดยใช้พลศาสตร์ของ流れเชิงคำนวน (Computational Fluid Dynamics, CFD) จากผลการคำนวนเชิงตัวเลขพบว่า คริบที่มุมปะทะ 45° ให้ค่าการถ่ายเทความร้อนและสมรรถนะเชิงความร้อนสูงสุด Kumar and Kim [3] ทำการวิเคราะห์เชิงตัวเลขถึงผลกระทบของการติดตั้งคริบรูปตัววีต่อสมรรถนะเชิงความร้อนภายในเครื่องอุ่นอากาศพลังแสงอาทิตย์ ผลการคำนวนพบว่า การจัดวางคริบที่

สัดส่วนความกว้างเท่ากับ 6 ให้ค่าการถ่ายเทความร้อนสูงสุด Pandey et al. [4] ศึกษาเชิงทดลองการเพิ่มการถ่ายเทความร้อนโดยใช้แผ่นดูดซับความร้อนชนิดผิวโค้งแบบเว้นช่องในช่วงการไหลแบบปั๊มปั๊ว ($Re=2100-21,000$) ผลการทดลองพบว่า การใช้แผ่นดูดซับความร้อนดังกล่าวมีค่าการถ่ายเทความร้อนและตัวประมวลเสียดทานสูงกว่าแผ่นดูดซับความร้อนแบบธรรมด้า (ห้องอุ่นวิธี) ถึง 5.85 และ 4.96 เท่า Tamna et al. [5] ทำการศึกษาเชิงทดลองร่วมกับการวิเคราะห์เชิงตัวเลขของพฤษตกรรมความร้อนภายในห้องอุ่นอากาศพลังแสงอาทิตย์โดยการติดตั้งแผ่นกันน้ำรูปตัววี พบว่า การติดตั้งแผ่นกันน้ำแผ่นดูดซับความร้อนด้านเดียวให้ค่าสมรรถนะเชิงความร้อนสูงสุดและผลการทดลองมีแนวโน้มที่สอดคล้องกับผลการวิเคราะห์เชิงตัวเลข Zhou and Ye [6] ศึกษาเชิงทดลองเกี่ยวกับคุณลักษณะทางความร้อนและการไหลของปีกสี่เหลี่ยมคงที่มุขปะทะต่างๆ ผลกระทบของปีกสี่เหลี่ยมคงที่มุขปะทะต่างๆ ผลการทดลองพบว่า ค่าสมรรถนะเชิงความร้อนสูงสุดพบที่การจัดวางปีกที่มีมุมปะทะสูง Skullong and Promvonge [7] ทำการทดลองเพื่อเพิ่มค่าการถ่ายเทความร้อนให้แก่เครื่องอุ่นอากาศพลังแสงอาทิตย์ด้วยการติดตั้งปีกสามเหลี่ยมเพื่อสร้างการไหลหมุนคงตามแนวยาว ผลการทดลองพบว่า การติดตั้งปีกบนแผ่นดูดซับความร้อนให้ค่าการถ่ายเทความร้อนและความเสียดทานสูงกว่าการติดตั้งปีกบริเวณก่อนทางเข้าส่วนทดสอบ Skullong et al. [8] ศึกษาพฤษตกรรมความร้อนและการต้านทานการไหลภายในห้องอุ่นอากาศพลังแสงอาทิตย์โดยใช้แผ่นดูดซับความร้อนชนิดร่องผสมปีกพรุน การทดลองพบว่า แผ่นดูดซับความร้อนดังกล่าวให้ค่าการถ่ายเทความร้อนและการต้านทานการไหลสูงกว่าห้องอุ่นวิธีและมีค่าสมรรถนะเชิงความร้อนสูงกว่าการใช้แผ่นดูดซับความร้อนชนิดร่องเพียงอย่างเดียวในช่วง 37.7–46.3%

จากการวิจัยเชิงทดลองรูปแบบการวิเคราะห์เชิงตัวเลขที่ผ่านมาแสดงให้เห็นว่าการติดตั้งปีกสามารถเพิ่มค่าการถ่ายเทความร้อนและสมรรถนะเชิงความร้อนให้แก่เครื่องอุ่นอากาศพลังแสงอาทิตย์ได้สูงกว่าการใช้คริบเนื่องจากปีกสามารถสร้างการไหลหมุนคงภายในห้องและเพิ่มระดับความปั๊มปั๊วให้กับของไหลได้ดีกว่าคริบอย่างไร้กีตภัณฑ์การวิจัยเกี่ยวกับอิทธิพลของการติดตั้งปีกต่อสมรรถนะเชิงความร้อนของเครื่องอุ่นอากาศพลังแสงอาทิตย์มีจำนวนน้อย ดังนั้นวัตถุประสงค์ของงานวิจัยนี้คือ การติดตั้งอุปกรณ์สร้างการไหลหมุนคงชนิดปีก

โดยทำการติดตั้งปีกเค่งบนผิวร้อนหรือแผ่นดูดซับความร้อน (Absorber plate) ที่มีแผ่นยืดเตอร์จำลองเป็นพลังงานแสงอาทิตย์และจ่ายความร้อนให้แก่แผ่นดูดซับความร้อนในสภาวะฟลักซ์ความร้อนคงที่ (Constant heat flux) การทดลองใช้อากาศเป็นของไหลทดสอบในช่วงการไหลแบบบันบานที่มีค่าเลขเรียนโนลด์สระหัวว่า 5400 ถึง 23,000 เพื่อศึกษาอิทธิพลของสัดส่วนความสูงปีกต่อความสูงท่อ ($b/H = BR$) ที่มีต่อค่าสมรรถนะเชิงความร้อนของเครื่องยนต์อากาศพลังแสงอาทิตย์

2. ทฤษฎีที่ใช้ในการคำนวณ

การคำนวณหาค่าการถ่ายเทความร้อน การสูญเสียความดัน และสมรรถนะเชิงความร้อนภายใต้เครื่องอุ่น อาการพลังแสงอาทิตย์ที่มีอาการเป็นของไฟทดสอบบนสามารถแสดงได้ดังนี้

สมดุลความร้อนระหว่างความร้อนที่อากาศได้รับ (Q_{air}) และการพากความร้อน (Q_{conv}) สามารถแสดงได้ดังนี้

$$Q_{\text{air}} = Q_{\text{conv}} \quad (1)$$

ดังนั้นสัมประสิทธิ์การพากความร้อนเฉลี่ย (h) หาค่าได้จาก

$$h = \frac{\dot{m}C_p(T_o - T_i)}{A(\tilde{T}_w - T_h)} \quad (2)$$

เมื่อ $T_b = (T_o + T_i)/2$ และ $\bar{T}_w = \sum T_w / 12$

เลขนั้นสเซิลท์เฉลี่ย (Nu) หาได้จาก

$$Nu = hD_b / k \quad (3)$$

การให้ผลของอากาศแสเดงในเทอมของเรียโนลด์ซึ่งขึ้นอยู่กับเส้นผ่านศูนย์กลางไชดรอลิก (D_h) สามารถเขียนได้เป็น

$$\text{Re} \equiv UD_e/\nu \quad (4)$$

ตัวประกอบเสียดทาน (f) หาก้าได้จาก

$$f = \frac{2}{(L/D_h)} \frac{\Delta P}{\rho U^2} \quad (5)$$

โดยที่

A คือ พื้นที่การถ่ายทอดความร้อนโดยการพาของแผ่นดูดซับความร้อน

C_p คือ ค่าความจุความร้อนจำเพาะของอากาศ

T. គីវិ ឧណាំរុមិថាងកក

T. គីវ អនហភាសាពេដ្ឋា

คือ อณหภูมิผิวเรียบของแผ่นดดซับความร้อน

m คือ อัตราการร้าบคลเซิงมวลของอากาศ

U คือ ความเร็วเฉลี่ยของอากาศ

✓ គីអូ គ្រាមង្រាតិចិំចិំងាលន៍ខែការ៉ា

สมรรถนะเชิงความร้อน (Thermal enhancement factor, TEF) คือ อัตราส่วนของสัมประสิทธิ์การพากความร้อนของพื้นผิวดัก Sob (h) กับสัมประสิทธิ์การพากความร้อนของพื้นผิวเรียบ (h_0) ซึ่งคิดที่กำลังขับเดียวกัน จากเอกสารอ้างอิง [1-8] โดยสามารถหาได้ดังสมการต่อไปนี้

$$\text{TEF} = \frac{h}{h_0} \Big|_{\text{pp}} = \frac{\text{Nu}}{\text{Nu}_0} \Big|_{\text{pp}} = \left(\frac{\text{Nu}}{\text{Nu}_0} \right) \left(\frac{f}{f_0} \right)^{-1/3} \quad (6)$$

3. อุปกรณ์และวิธีการทดลอง

3.1 อุปกรณ์สร้างการให้ลมนคงชนิดปีกโค้ง

แผ่นอลูมิเนียมกุนนำมาใช้ในการทำส่วนทดลอง
เครื่องอุณหภูมิพลาสติกและอาทิตย์มีลักษณะรูปทรง
สี่เหลี่ยมผืนผ้าความยาวรวม 2000 มิลลิเมตร ส่วน
ทดสอบยาว (L) 420 มิลลิเมตร กว้าง (W) 300 มิลลิเมตร
และสูง (H) 30 มิลลิเมตร โดยมีสัดส่วนความกว้างต่อ
ความสูง ($W/H=AR$) เท่ากับ 10 อุปกรณ์สร้างการไฟฟ้า
หมุนคงชนิดปีกโค้งถูกติดตั้ง 3 แผง บนแผ่นดูดซับความ
ร้อนเพื่อสร้างการไหลหมุนคงตามแนววงรีและการไฟฟ้า
โดยมีระยะพื้นที่ตามแนวการไหล $P_t=60$ มิลลิเมตร หรือ
สองเท่าของความสูงท่อ ($2H$) ระยะพื้นที่ตามแนววงรี
การไฟฟ้า $P_t=120$ มิลลิเมตร หรือสี่เท่าของความสูงท่อ
($4H$) และมุมปะทะ $\alpha = 45^\circ$ โดยมีสัดส่วนความสูงปีกต่อ
ความสูงท่อ ($b/H=BR$) 4 ค่า คือ 0.3, 0.4, 0.5 และ 0.6
ดังแสดงในรูปที่ 1 แผ่นดูดซับความร้อนถูกทำให้ร้อนด้วย
แผ่นอีตเตอร์ไฟฟ้าขนาด 2000 วัตต์ (จำลองเป็นพลังงาน
ความร้อนจากแสงอาทิตย์) และมีการหุ้มฉนวนอย่างดีเพื่อ
ป้องกันการสูญเสียความร้อนออกสู่บรรยากาศภายนอก

3.2 การติดตั้งอุปกรณ์เครื่องอ่นอากาศพลังแสงอาทิตย์

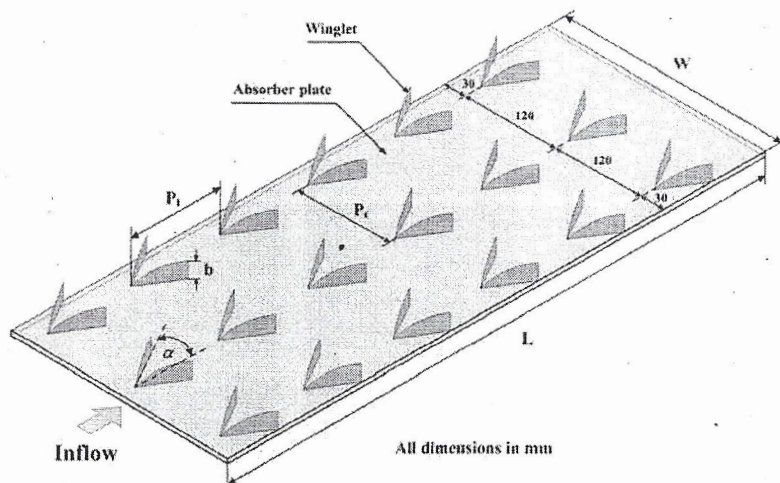
อุปกรณ์ชุดทดลองเครื่องอุ่นอากาศพลังแสงอาทิตย์แสดงดังรูปที่ 2 จากรูปอุปกรณ์ประกอบด้วยพัดลมแรงดันสูงขนาด 2 กิโลวัตต์ ซึ่งใช้เป็นแหล่งต้นกำลัง แผ่นออริฟิซ (Orifice plate) ใช้สำหรับวัดอัตราการไหลของอากาศก่อนเข้าส่วนทดสอบ Inclined manometer เป็นอุปกรณ์วัดค่าผลิต่างของความดันโดยการอ่านค่าจากความแตกต่างของระดับน้ำ Settling

tank ทำหน้าที่จัดระเบียบการไหลให้แก่อากาศ ซึ่งปรับสภาพอากาศให้เป็น Calm section ทำหน้าที่ปรับสภาพอากาศให้ลมของอากาศให้มีลักษณะพัฒนาเต็มที่ (Fully developed flow) ก่อนเข้าสู่ส่วนทดสอบ เทอร์โมคัปเปิลชนิด T (T-type thermocouple) จำนวน 12 ตัว ทำหน้าที่วัดอุณหภูมิผิวแผ่นดูดซับความร้อนดังแสดงในรูปที่ 3 เช่นเชอร์วัดอุณหภูมิชิโนด RTD (PT100) จำนวน 2 ตัว ใช้ในการวัดอุณหภูมิทางเข้าและทางออก ส่วนทดสอบ โดยอุณหภูมิทั้งหมดจะส่งสัญญาณไปยัง Data Logger รุ่น FLUKE 2680A และประมวลผลมา.ying เครื่องคอมพิวเตอร์ ขณะที่ดิจิตอลมา.n อุณหภูมิ เก็บ นำมาใช้ในการวัดค่าความดันต่อร่องส่วนทดสอบ ค่าความแม่นยำของเครื่องมือและอุปกรณ์การวัดแสดง

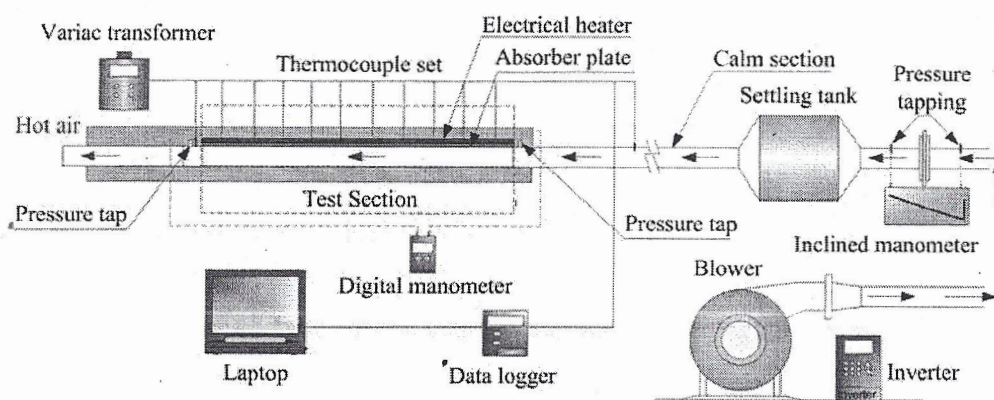
รายละเอียดในเอกสารอ้างอิง [5,8] รายละเอียดของเงื่อนไขที่ใช้ในการทดสอบแสดงในตารางที่ 1

ตารางที่ 1 รายละเอียดเงื่อนไขที่ใช้ในการทดสอบ

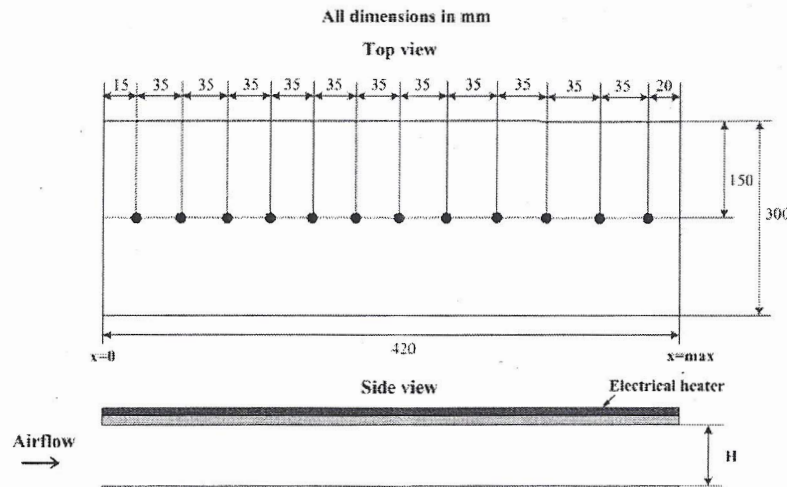
Working fluid	Air
Reynolds number	5400 to 23,000
α	45°
BR	0.3, 0.4, 0.5, 0.6
PR	2
Winglet thickness	0.5 mm



รูปที่ 1 อุปกรณ์สร้างการไหลหมุนเวียนปีกโค้ง



รูปที่ 2 เครื่องอุณหภูมิพลังแสงอาทิตย์



รูปที่ 3 ตำแหน่งเทอร์โมคัปเปิล

4. ผลการทดลอง

4.1 การทดสอบท่อผิวเรียบ

เพื่อความถูกต้องของชุดทดลองและข้อมูลการทดลอง การตรวจสอบท่อผิวเรียบจึงมีความสำคัญอย่างยิ่ง ดังนั้นก่อนติดตั้งอุปกรณ์สร้างการไหลหมุนคงบนแผ่นดูดซับความร้อนจึงต้องทำการตรวจสอบแผ่นดูดซับความร้อนผิวเรียบก่อน โดยใช้สหสัมพันธ์ของ Dittus-Boelter และ Blasius จากเอกสารอ้างอิง [9] ในการตรวจสอบผลของค่าการถ่ายเทขายความร้อนและความเสียดทานซึ่งแสดงในเทอมของเลขนัสเซลท์ (Nusselt number, Nu) และตัวประกอบความเสียดทาน (friction factor, f) โดย สหสัมพันธ์ดังกล่าวแสดงดังสมการที่ (7) และ (8) ตามลำดับ

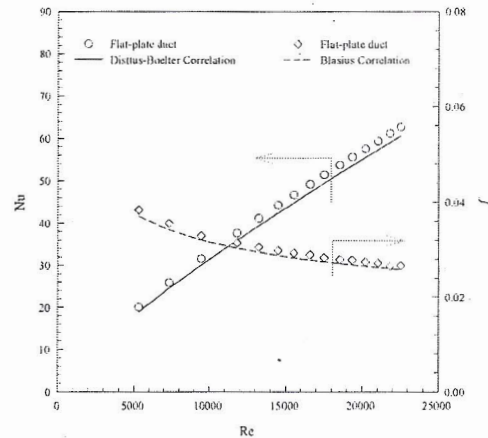
สหสัมพันธ์ของ Dittus-Boelter

$$Nu = 0.023 Re^{0.8} Pr^{0.4} \quad (7)$$

สหสัมพันธ์ของ Blasius

$$f = 0.316 Re^{-0.25} \quad (8)$$

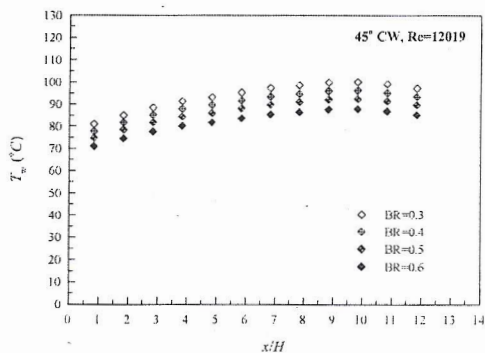
รูปที่ 4 แสดงการเปรียบเทียบค่า Nu และ f ระหว่างผลการทดลองกับสหสัมพันธ์จากสมการที่ (7) และ (8) ตามลำดับ จากผลการทดลองเมื่อเปรียบเทียบกับสหสัมพันธ์พบว่า ค่า Nu มีความคลาดเคลื่อนเฉลี่ยเท่ากับ 6% ขณะที่ f มีความคลาดเคลื่อนเฉลี่ยเท่ากับ 7%



รูปที่ 4 ความสัมพันธ์ระหว่าง Nu และ f กับ Re กรณีท่อผิวเรียบ

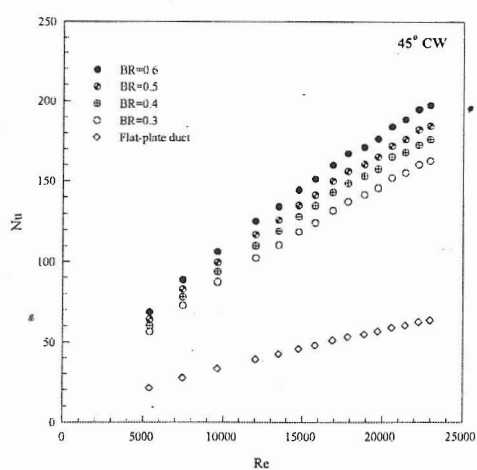
4.2 การกระจายอุณหภูมิบนแผ่นดูดซับความร้อน

รูปที่ 5 แสดงการกระจายอุณหภูมิผิวแผ่นดูดซับความร้อน (T_w) ที่สัดส่วนระยะการติดตั้งเทอร์โมคัปเปิลต่อกำลังของพื้นที่ (x/H) ค่าต่างๆ ที่ $Re=12019$ จากผลการทดลองพบว่า ค่าอุณหภูมิผิวน้ำในพื้นที่ $x/H \approx 11$ และ 12 เนื่องจากผลการทดสอบของการแผ่รังสีและบรรยายกาศภายนอก การติดตั้งปีกที่ $BR=0.6$ มีค่าอุณหภูมิผิวต่ำสุดเนื่องจากสามารถระบายความร้อนจากแผ่นดูดซับความร้อนได้สูงกว่าการติดตั้งปีกที่ค่า BR อื่นๆ

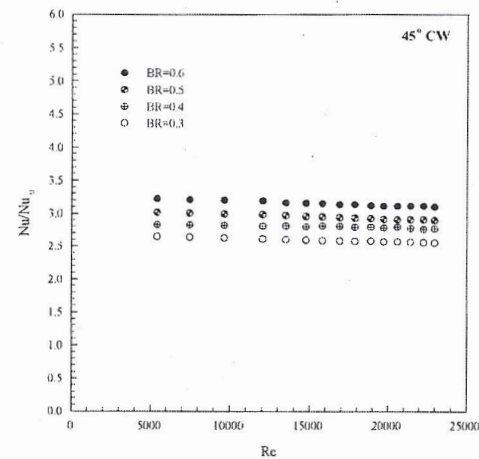
รูปที่ 5 ความสัมพันธ์ระหว่าง T_w กับ x/H

4.3 การถ่ายเทความร้อน

ความสัมพันธ์ระหว่าง Nu กับ Re แสดงดังรูปที่ 6 จากการทดลองพบว่า ค่าการถ่ายเทความร้อนในเทอม Nu เพิ่มขึ้นตามการเพิ่มขึ้นของค่า Re การติดตั้งปีกโค้งที่ $BR=0.6$ บทແผ่นดูดซับความร้อนให้ค่า Nu สูงสุดตามด้วย $BR=0.5, 0.4, 0.3$ และท่อผิวน้ำเรียบตามลำดับ เนื่องจากการติดตั้งปีกที่มีขนาดใหญ่ ($BR=0.6$) ส่งผลให้เกิดระดับการไหลที่มีความซับซ้อนมากขึ้น (longitudinal vortex generator) ที่แข็งแรงกว่าปีกที่มีขนาดเล็ก ทำให้สามารถขัดขวางการพัฒนาชั้นขอบเขตความร้อน (thermal boundary layer) บนแผ่นดูดซับความร้อนได้ดีและเกิดการแลกเปลี่ยนความร้อนระหว่างอุณหภูมิผิว และของในหลอดมากกว่าการติดตั้งปีกที่ BR ค่าอื่นๆ โดยการติดตั้งปีกโค้งให้ค่า Nu สูงกว่ากรณีแผ่นดูดซับความร้อนท่อผิวน้ำเรียบ 60–70%

รูปที่ 6 ความสัมพันธ์ระหว่าง Nu กับ Re

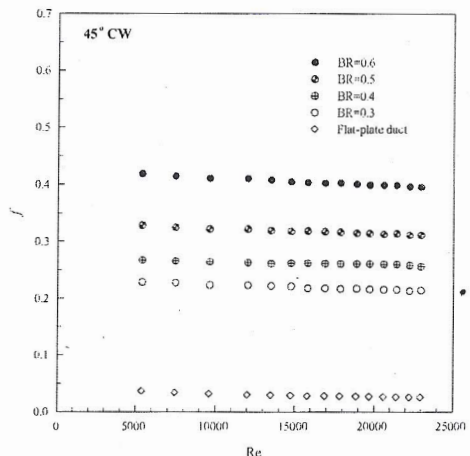
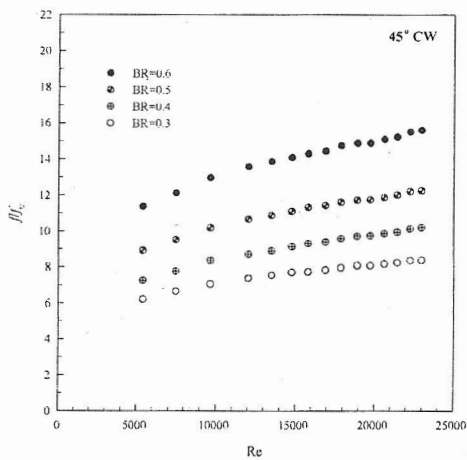
ความสัมพันธ์ระหว่างอัตราส่วนเลขันสเซลท์ (Nu/Nu_0) กรณีติดตั้งปีกโค้งต่อเลขันสเซลท์ของท่อผิวน้ำเรียบ (Nu/Nu_0) กับ Re แสดงในรูปที่ 7 จากรูปแสดงให้เห็นว่า ค่า Nu/Nu_0 มีแนวโน้มลดลงเมื่อค่า Re เพิ่มขึ้น แผ่นดูดซับความร้อนที่มีการติดตั้งตัวสร้างการไหลที่มีขนาดใหญ่ ($BR = 0.6, 0.5, 0.4, 0.3$) มีค่า Nu/Nu_0 เฉลี่ยเท่ากับ 3.2, 2.9, 2.8 และ 2.6 ตามลำดับ การติดตั้งปีกโค้งที่ $BR = 0.6$ ให้ค่า Nu/Nu_0 เฉลี่ยสูงกว่าการติดตั้งปีกโค้งที่ $BR = 0.5, 0.4$ และ 0.3 เท่ากับ 6.6%, 11.2% และ 17.7% ตามลำดับ

รูปที่ 7 ความสัมพันธ์ระหว่าง Nu/Nu_0 กับ Re

4.4 ความเสียดทาน

การต้านทานการไหลของอากาศที่ไหลผ่านแผ่นดูดซับความร้อนที่มีการติดตั้งปีกแสดงในเทอมของตัวประกอบเสียดทาน (f) และอัตราส่วนตัวประกอบเสียดทาน (f/f_0)

รูปที่ 8 แสดงความสัมพันธ์ระหว่าง f กับ Re จากรูปแสดงให้เห็นถึงความเสียดทานที่มีค่าเพิ่มขึ้นเมื่อเทียบกับแผ่นดูดซับความร้อนผิวน้ำเรียบเนื่องจากการติดตั้งปีกโค้งจะเหนี่ยวแน่นให้เกิดการไหลที่มีความซับซ้อนมากขึ้น ทำให้เกิดความเสียดทานสูงขึ้น โดยการติดตั้งปีกโค้งมีค่า f สูงกว่าแผ่นดูดซับความร้อนผิวน้ำเรียบ 84–94% กรณี $BR = 0.6$ มีค่า f สูงสุดตามด้วย $BR = 0.5, 0.4$ และ 0.3 ตามลำดับ

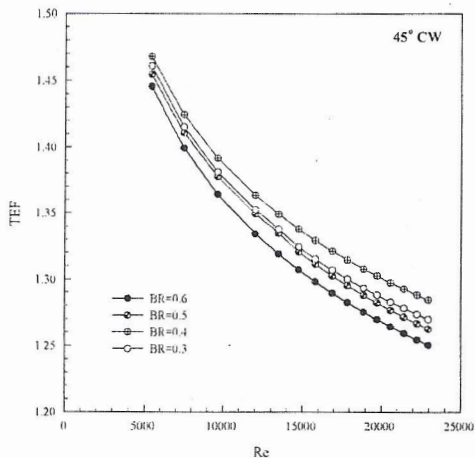
รูปที่ 8 ความสัมพันธ์ระหว่าง f กับ Re รูปที่ 9 ความสัมพันธ์ระหว่าง f/f_0 กับ Re

รูปที่ 9 แสดงความสัมพันธ์ระหว่างตัวประกอบเสียดทานกรณีติดตั้งปีกโถงต่อตัวประกอบเสียดทานของแผ่นดูดซับความร้อนผิวน้ำเรียบ (f/f_0) จากการทดลองพบว่า เมื่อค่า Re เพิ่มขึ้นส่งผลให้ค่า f/f_0 เพิ่มขึ้นตาม โดย f/f_0 มีค่าอยู่ในช่วง 11.4–15.4, 8.9–12.1, 7.3–10 และ 6.2–8.4 สำหรับกรณีการติดตั้งปีกที่ $BR = 0.6, 0.5, 0.4$ และ 0.3 ตามลำดับ กรณีปีกโถงที่ $BR = 0.6$ มีค่า f/f_0 เนลี่ย สูงกว่าการติดตั้งปีกที่ $BR = 0.5, 0.4$ และ 0.3 เท่ากับ 21.2%, 35.2% และ 45.6% ตามลำดับ

4.5 สมรรถนะเชิงความร้อน

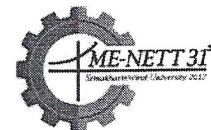
สมรรถนะเชิงความร้อน (Thermal Enhancement Factor, TEF) จากสมการที่ (6) เป็นพารามิเตอร์ที่ใช้ในการประเมินผลสมรรถนะของเครื่อง

อุณหภูมิพลังแสงอาทิตย์โดยแสดงดังรูปที่ 10 จากรูปแสดงความสัมพันธ์ระหว่าง TEF กับ Re ซึ่งเป็นข้อมูลที่คำนวณจากค่า Nu และ f ซึ่งคิดที่กำลังซับเดียวกัน โดยพบว่าค่า TEF มีแนวโน้มลดลงเมื่อมีการเพิ่มขึ้นของค่า Re การติดตั้งปีกโถงบนแผ่นดูดซับความร้อนมีค่า TEF อยู่ในช่วง 1.24–1.43, 1.26–1.45, 1.28–1.46 และ 1.26–1.44 สำหรับ $BR = 0.6, 0.5, 0.4$ และ 0.3 ตามลำดับ การติดตั้งปีกที่ $BR = 0.4$ มีค่า TEF สูงสุดเท่ากับ 1.46 ที่ $Re = 5400$ โดยมีค่าเฉลี่ยสูงกว่าการติดตั้งปีกที่ $BR = 0.3, 0.5$ และ 0.6 เท่ากับ 1.3%, 1.9% และ 2.6% ตามลำดับ

รูปที่ 10 ความสัมพันธ์ระหว่าง TEF กับ Re

5. สรุปผลการทดลอง

การศึกษาอิทธิพลของความสูงปีกที่มีต่อการถ่ายเทความร้อน ความเสียดทาน และสมรรถนะเชิงความร้อนของเครื่องอุณหภูมิพลังแสงอาทิตย์ในช่วงการไฟล์ปั๊มน้ำที่ค่า $Re = 5400$ –23,000 แสดงให้เห็นว่าการติดตั้งตัวสร้างการไฟล์มุนคงชนิดปีกโถงบนแผ่นดูดซับความร้อนสามารถเพิ่มค่าการถ่ายเทความร้อนได้ถ้ากว่าแผ่นดูดซับความร้อนผิวน้ำเรียบถึง 60–70% โดยการติดตั้งปีกที่ $BR = 0.6$ มีค่าการถ่ายเทความร้อนและความเสียดทานสูงสุดขณะที่ค่าสมรรถนะเชิงความร้อน (TEF) สูงสุดในกรณีทดสอบพบร์การติดตั้งปีกโถงกรณี $BR = 0.4$ โดยมีค่าเท่ากับ 1.46 และมีค่าสูงกว่า $BR = 0.3, 0.5$ และ 0.6 เท่ากับ 1.3%, 1.9% และ 2.6% ตามลำดับ



6. เอกสารอ้างอิง

- [1] Singh, S., Chander, S., Saini, J.S. (2011). Heat transfer and friction factor correlations of solar air heater ducts artificially roughened with discrete v-down ribs, *Energy*, vol. 36, 2011, pp. 5053–5064.
- [2] Jin, D., Zhang, M., Wang, P., Xu, S. (2015). Numerical investigation of heat transfer and fluid flow in a solar air heater duct with multi V-shaped ribs on the absorber plate, *Energy*, vol. 89, 2015, pp. 178–190.
- [3] Kumar, A., Kim, M.H. (2015). Effect of roughness width ratios in discrete multi V-rib with staggered rib roughness on overall thermal performance of solar air channel, *Solar Energy*, vol. 119, pp. 399–414.
- [4] Pandey, N.K., Bajpai, V.K., Vaishnavi. (2016). Experimental investigation of heat transfer augmentation using multiple arcs with gap on absorber plate of solar air heater, *Solar Energy*, vol. 134, pp. 314–326.
- [5] Tamna, S., Skullong, S., Thianpong, C., Promvonge, P. (2014). Heat transfer behaviors in a solar air heater channel with multiple V-baffle vortex generators, *Solar Energy*, vol. 110, pp. 720–735.
- [6] Zhou, G.B., Ye, Q.L. (2012). Experimental investigations of thermal and flow characteristics of curved trapezoidal winglet type vortex generators, *Applied Thermal Engineering*, vol. 37, pp. 241–248.
- [7] Skullong, S., Promvonge, P. (2014). Experimental investigation on turbulent convection in solar air heater channel fitted with delta winglet vortex generator, *Chinese Journal of Chemical Engineering*, vol. 22, pp. 1–10.
- [8] Skullong, S., Promvonge, P., Thianpong, C., Pimsarn, M. (2016). Thermal performance in solar air heater channel with combined wavy-groove and perforated-delta wing vortex generators, *Applied Thermal Engineering*, vol. 100, pp. 611–620.
- [9] Incropera, F.P., Dewitt, P.D., Bergman, T.L., Lavine, A.S. (2012). Foundations of Heat Transfer, sixth ed., John-Wiley & Sons Inc.